

颱風的運動

陳正改

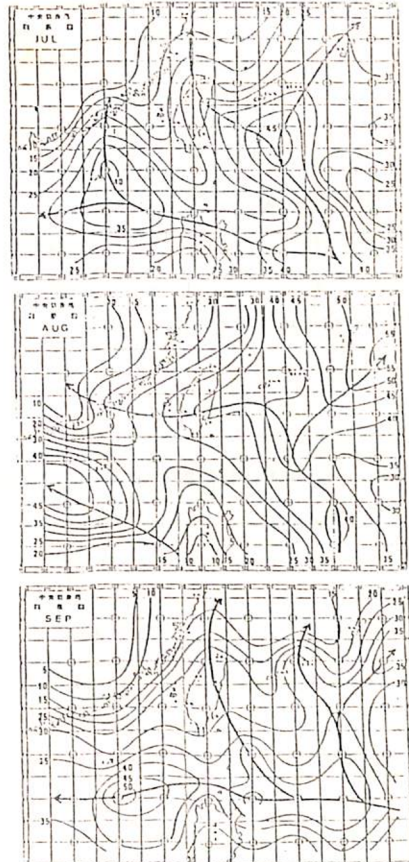
中央氣象局

摘要

颱風的運動受制於水平地轉偏向力(科氏力)，水平氣壓梯度力(外力)，地球自轉所產生的內力，以及颱風內部動量變化所產生的內力等四種作用力。其中最主要的為：(1)氣壓梯度力所導致的外力，使颱風沿駛流場方向移動；(2)地球轉動所引起的內力，使颱風受到氣旋式環流和輻合運動之作用，而往北偏西移動。

一、前言

西北太平洋和南海的颱風生成後，即以各種複雜的路徑移動。其主要的移動路徑可分為西進、西北、轉向和異常等四類(詳見圖一)；而颱風預報之問題中，最重要的乃是路徑之預報。然颱風的移動是受到各種內力和外力之綜合作用，故討論颱風的運動時，乃將颱風當作大型環流場中一個軸對稱的渦旋(Vortex)來考慮。



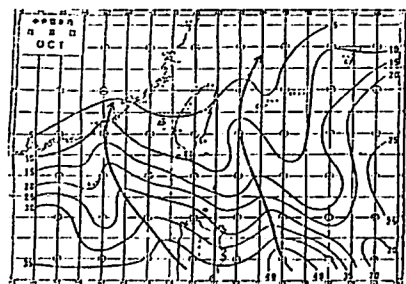


圖 1 . 五至十月份颱風的主要移動路徑(粗實線)

二、颱風運動的控制方程

在固定坐標(x·y·z·t)即Eulerian Coordinate)若不考慮摩擦作用，則颱風運動的控制方程：

$$\frac{du}{dt} = -\frac{1}{\rho} \frac{\partial p}{\partial x} + 2\Omega(v \sin \varphi - w \cos \varphi) \quad (1)$$

$$\frac{dv}{dt} = -\frac{1}{\rho} \frac{\partial p}{\partial y} - 2\Omega(u \sin \varphi) \quad (2)$$

其中 Ω 為地球自轉角速度， φ 為緯度。

現設移動坐標(x'·y'·z'·t')即Lagrangian Coordinate)其原點位於颱風中心，並與颱風一起移動，其移動速度為

$$C = C_x i + C_y j \quad (3)$$

$$u = C_x + u'; v = C_y + v'; w = w' \quad (4)$$

u' 、 v' 、 w' 為空氣質點相對於颱風中心的速度分量，於是(1)(2)式可改寫

$$\frac{dC_x}{dt} - 2\Omega C_y \sin \varphi = -\frac{1}{\rho} \frac{\partial p}{\partial x} + 2\Omega(v \sin \varphi - w \cos \varphi) - \frac{du'}{dt} \quad (5)$$

$$\frac{dC_y}{dt} + 2\Omega C_x \sin \varphi = -\frac{1}{\rho} \frac{\partial p}{\partial y} - 2\Omega(u \sin \varphi) - \frac{dv'}{dt} \quad (6)$$

若考慮對整個颱風作用的力，並對體積(τ)求積分，由(5)(6)式可得：

$$\left. \begin{aligned} & \int_{\tau} \rho \left(\frac{dC_x}{dt} - 2\Omega C_y \sin \varphi \right) d\tau \\ & = - \int_{\tau} \frac{\partial p}{\partial x} d\tau + 2\Omega \int_{\tau} \rho (v \sin \varphi - w \cos \varphi) d\tau - \int_{\tau} \rho \frac{du'}{dt} d\tau \end{aligned} \right\} \quad (7)$$

$$\left. \begin{aligned} & \int_{\tau} \rho \left(\frac{dC_y}{dt} + 2\Omega C_x \sin \varphi \right) d\tau \\ & = - \int_{\tau} \frac{\partial p}{\partial y} d\tau - 2\Omega \int_{\tau} \rho u \sin \varphi d\tau - \int_{\tau} \rho \frac{dv'}{dt} d\tau \end{aligned} \right\} \quad (8)$$

設 φ_0 為颱風中心所在之緯度，而 $(mink)$ 為整個颱風(渦旋)的質量。

由(7)(8)式可得

$$\left. \begin{aligned} & M \left(\frac{dC_x}{dt} - 2\Omega C_y \sin \varphi \right) \\ & \quad (A) \\ & = - \int_{\tau} \frac{\partial p}{\partial x} d\tau - 2\Omega \int_{\tau} \rho (w \cos \varphi - v \sin \varphi) d\tau - \int_{\tau} \rho \frac{du'}{dt} d\tau \end{aligned} \right\} \quad (9)$$

$$\left. \begin{aligned} & M \left(\frac{dC_y}{dt} + 2\Omega C_x \sin \varphi \right) \\ & \quad (A) \\ & = - \int_{\tau} \frac{\partial p}{\partial y} d\tau - 2\Omega \int_{\tau} \rho u \sin \varphi d\tau - \int_{\tau} \rho \frac{dv'}{dt} d\tau \end{aligned} \right\} \quad (10)$$

上兩式所代表之物理意義為：颱風的水平加速

度 $\frac{dc}{dt}$ 是由下列四種作用力予以決定：

- (一) 水平地轉偏向力 \vec{F} (科氏力)
- (二) 水平氣壓梯度力 \vec{G} (外力)
- (三) 因地球自轉而產生的內力 \vec{I}
- (四) 颱風內部動量變化所產生的內力 \vec{N}

三、影響颱風運動作用力

(一) 水平地轉偏向力(科氏力)

$$F = 2\Omega \sin \varphi (C_y i - C_x j) \quad (11)$$

在自轉的地球上，且無外力(氣壓梯度力為0)之情況下，一個空氣質點若受到衝量而向北運動時

，此時因科氏力(\vec{F})之作用，則質點之運動軌跡於北半球，將是順時針方向的近似圓，此即為慣性圓。

事實上，當颱風處於均勻的氣壓場(無外力之作用)，又無大的內力(颱風較弱、較小)或外力與內力相互抵消時，由於受到科氏力(\vec{F})之作用，颱風即呈慣性圓運動，而作順時針(向右偏轉)方向移動。

(二) 水平氣壓梯度力(外力)

$$\vec{G} = - \int_{\tau} \left(\frac{\partial p}{\partial x} i + \frac{\partial p}{\partial y} j \right) d\tau \quad (12)$$

氣壓梯度力(\vec{G})可分解為：

$$- \int_{\tau} \frac{\partial p}{\partial x} d\tau = - \int_{\tau} \int_0^{z_1} \frac{\partial p}{\partial x} dz dS \quad (13)$$

$$- \int_{\tau} \frac{\partial p}{\partial y} d\tau = - \int_{\tau} \int_0^{z_1} \frac{\partial p}{\partial y} dz dS \quad (14)$$

其中 z_1 為颱風的垂直厚度， S 為颱風的水平面積。於地轉近似時

$$- \int_{\tau} \frac{\partial p}{\partial x} d\tau = -2\Omega \sin \varphi \int_0^{z_1} \int_0^v \rho dS dz \quad (15)$$

$$- \int_{\tau} \frac{\partial p}{\partial y} d\tau = 2\Omega \sin \varphi \int_0^{z_1} \int_0^u \rho dS dz \quad (16)$$

u 、 v 為颱風暴風範圍內平均水平風速。

設 U_m 、 V_m 為環境氣流場內的平均風速，則由(15)(16)可得：

$$- \int_{\tau} \frac{\partial p}{\partial x} d\tau = -M \cdot 2\Omega \sin \varphi \cdot \bar{V}_m \quad (17)$$

$$- \int_{\tau} \frac{\partial p}{\partial y} d\tau = M \cdot 2\Omega \sin \varphi \cdot \bar{U}_m \quad (18)$$

若祇考慮 F 及 G 之作用，平衡，由(9)及(17)式

$$-M \cdot 2\Omega \cdot C_y \sin \varphi = -M \cdot 2\Omega \cdot \sin \varphi \cdot \bar{V}_m$$

$$C_y = \bar{V}_m \quad (19)$$

由(10)及(18)式：

$$M \cdot 2\Omega \cdot C_x \sin \varphi = M \cdot 2\Omega \cdot \sin \varphi \quad (20)$$

$C_x = \bar{U}_m$ (20)
(19)(20)兩式，表示：颱風的移動速度(C_x 、 C_y)就是環流場(駛流場)的平均速率，此即駛流的原理，亦即由於颱風受到周圍環境氣流場之導引而運動。

若與東風帶、西風帶和副熱帶高壓等綜觀尺度系統相比較，是可將颱風當作一個質點。由於周圍環境氣流場的水平氣壓分布不均勻，就有一個氣壓梯度力(\vec{G})作用在颱風上，並與科氏力(\vec{F})相平衡，於是颱風就沿著地轉風之方向移動。

1· 當颱風位於東風帶中(圖2)，由於氣壓梯度力(\vec{G})向南，科氏力(\vec{F})向北，於是颱風將往西移動。

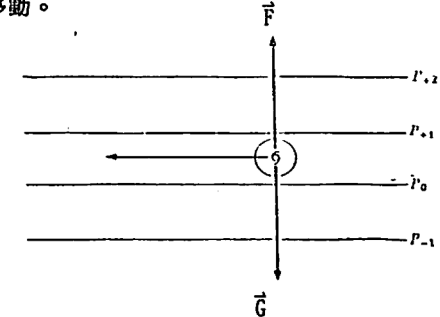
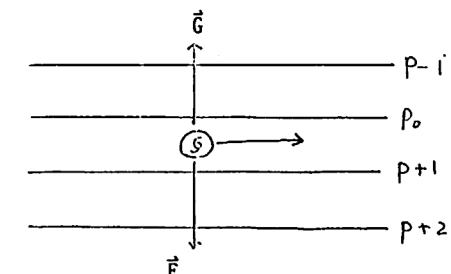


圖 2 . 於東風帶中颱風之移動方向

2· 當颱風位於西風帶中(圖3)，因氣壓梯度力(\vec{G})向北，科氏力(\vec{F})向南，於是颱風將往東移動。

圖 3 . 於西風帶中颱風之移動方向
但因受到地球自轉及動量變化之影響，當颱風

於東風帶中西移時，則有偏向駛流場右側（高壓）之趨勢；於西風帶東移時，有偏向駛流場左側（低壓）之趨勢（Chan 1984）。

Chan (1985) 並以合成法討論颱風之運動方向與駛流之關係（詳見表 1），得知：

1. 颱風之運動傾向於700MB氣流的右側，或400MB的左側。

2. 颱風之移動速度比700MB駛流快20%。

至於各運動方向與駛流之關係，詳見表 1 及圖 4。

Stratification	700 mb deviation		400 mb deviation	
	Direction	Speed (m s ⁻¹)	Direction	Speed (m s ⁻¹)
Westward (265–285°)	-7	-1.7	-7	-1.5
Northward (305–015°)	13	-1.7	30	-2.3
Northeastward (025–055°)	-25	-2.2	27	2.0

表 1 . 颱風之運動方向與駛流之關係

(+) { 向左(西) (-) { 向右(東)
慢 快

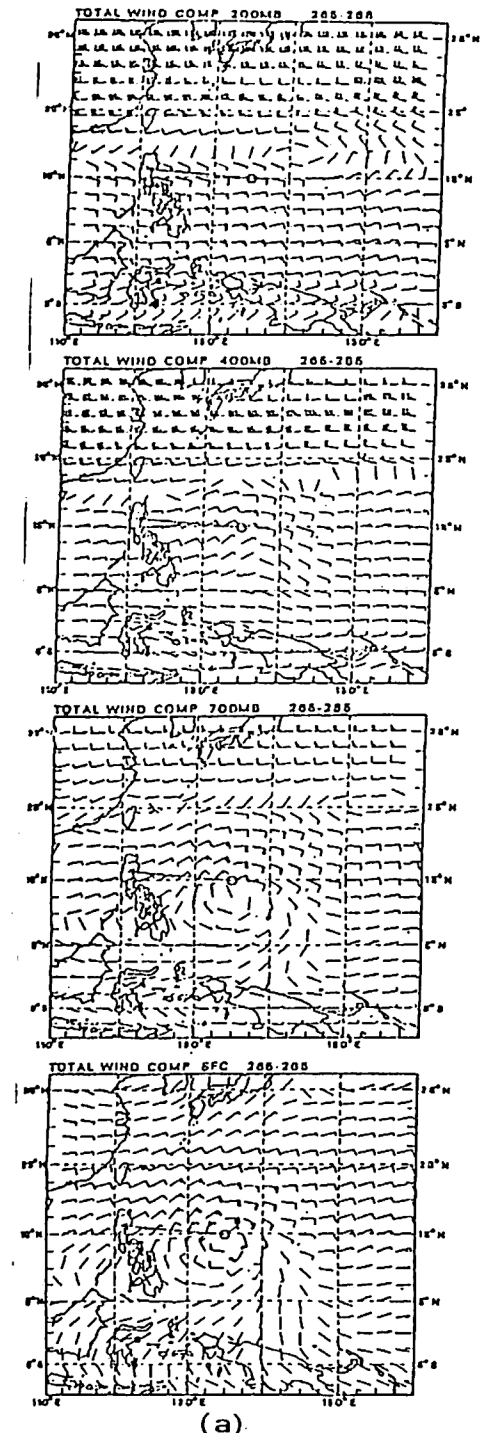
至於駛流場之選取，最好是取整層平均氣流，但事實上是不可能的，而祇以某一層的氣流作為代表。一般是以500MB作為導引(駛流)層。據NOMOLO (1976)之研究，在西北太平洋上六至十一月時，於15° N以北之地區，颱風的移動與700/500MB的氣流較一致。於10° N以南，則與300或200MB的氣流較一致，故駛流層之選取，應依颱風當時之位置及季節而有所區別。而在國內之作業單位，則依颱風之強弱而決定，即當颱風較弱時，採用850/700/50MB三層之平均氣流(mean flow)；作為颱風移動的駛流場。

(三) 因地球自轉而產生的內力

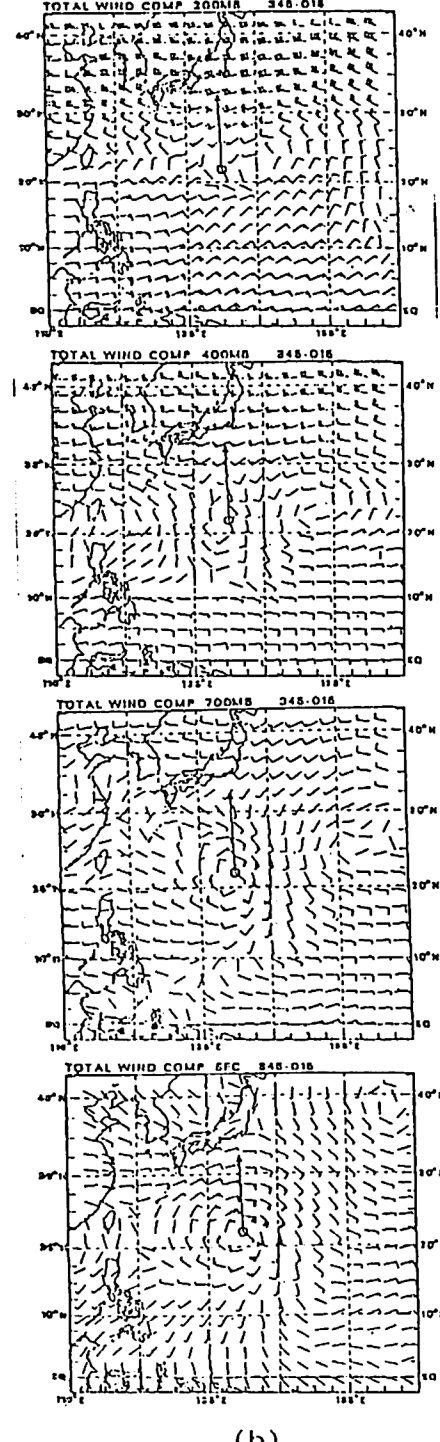
$$\mathbf{f} = -2\Omega \int_{\tau} \rho [v' \cos \varphi - v' \sin \varphi] \hat{i} + u' \sin \varphi \cdot \hat{j} d\tau \quad (21)$$

內力(f) 在X及Y方向的分力

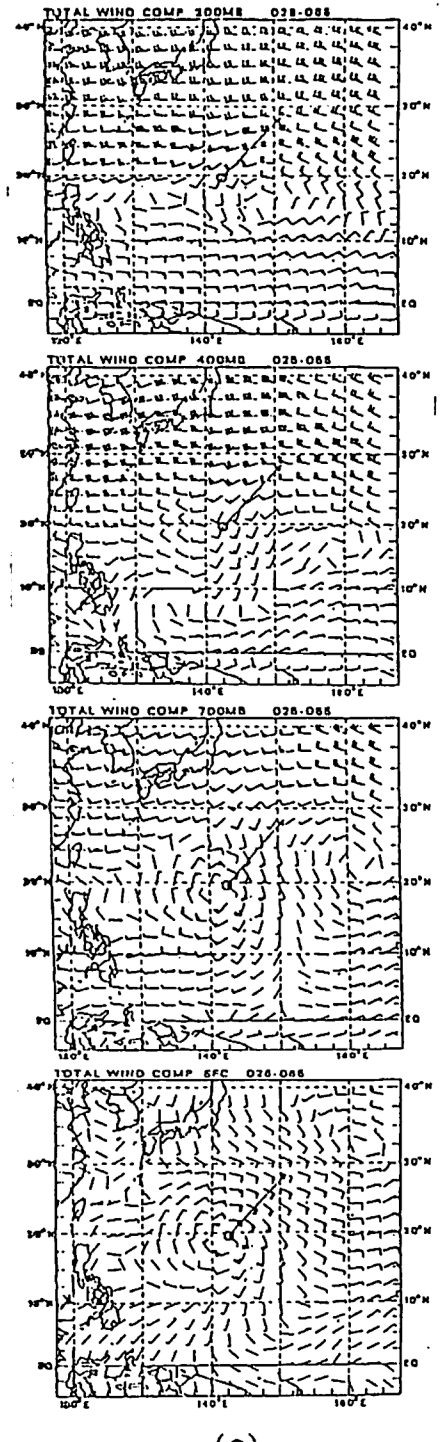
$$f_x = -2\Omega \int_{\tau} \rho (v' \cos \varphi - v' \sin \varphi) d\tau \quad (22)$$



(a)



(b)



(c)

圖 4 . 颱風向西(a)，向北(b)，向東北(c)移動時，SFC、700、1400 和 200 MB 之合成風場 (取自 CHAN 1985)

$$I_y = 2\Omega \int_{-\pi}^{\pi} \rho u' \sin \theta d\theta \quad (23)$$

將颱風當作軸對稱的圓柱體，取圓柱坐標(r 、 θ 、 z 、 t)，則

$$u' = v_r \cdot \cos \theta - v_\theta \cdot \sin \theta \quad (24)$$

$$v' = v_r \cdot \sin \theta + v_\theta \cdot \cos \theta \quad (25)$$

其中 v_θ 為切線速度， v_r 為徑向速度， r 為颱風內任一點距中心的距離， θ 為 r 與X軸(向東為正)之夾角。

經過簡化之後，可得

$$I_x = -2\Omega \cdot M \cdot \cos \theta (\omega - \frac{v_r \bar{v}}{3R}) \quad (26)$$

$$I_y = 2\Omega \cdot M \cdot \cos \theta \frac{v_r \bar{v}}{3R} \quad (27)$$

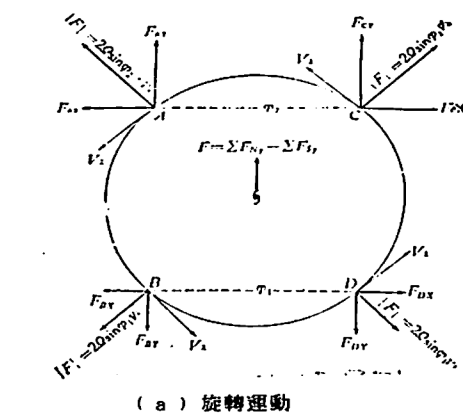
其中 R 為地球半徑， \bar{v} 為颱風內的平均垂直速度。

由於颱風為氣旋式渦旋(即 $v_\theta > 0$)，由(27)式知， $I_y > 0$ ，表示颱風有向北的內力，又由於颱風有上升運動($\omega > 0$)和輻合運動($v_r < 0$)由(26)式知 $I_x < 0$ ，表示颱風有向西的內力(此為 β 效應)，所以颱風的總內力是向西並偏北，即西北方向。

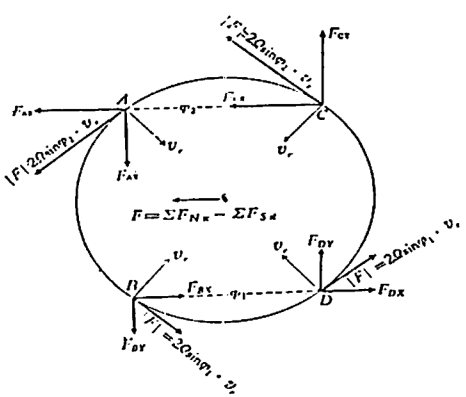
颱風的範圍愈大，氣旋式環流(v_θ)及輻合運動(v_r)也愈顯著，表示颱風的強度愈強，則內力就愈大。

至於旋轉運動(v_θ)對颱風內力之作用，可用圖5(a)來說明：

假設颱風的旋轉速度為對稱，於東西方向，因同緯度，於是作用於颱風之科氏力的數值相等，即 $|F_{Ax}| = |F_{Cx}|$ ， $|F_{Bx}| = |F_{Dx}|$ ，但方向相反，表示東西方向的合力為0；而在南北方向，由於科氏力隨緯度之增大而增大，所以作用在颱風北側的科氏力比南側為大，即 $\Sigma F_{Ny} > \Sigma F_{Sy}$ 。對整個颱風而言，由於科氏力之緯度效應的作用，氣旋式環流就



(a) 旋轉運動



(b) 輻合運動

產生一個向北的淨內力($F = \Sigma F_{Ny} - \Sigma F_{Sy}$)

而輻合運動(v_r)對颱風內力之作用[詳見圖5(b)]：因 $\Sigma F_{Nx} > \Sigma F_{Sx}$ ，表示輻合運動將產生向西的淨內力($F = \Sigma F_{Nx} - \Sigma F_{Sx}$)。

但往北的內力比向西的內力為大，因此，由颱風內部對稱平均氣流場所引起的內力之合力，是指向北偏西(亦即NW~NNW)，颱風範圍愈大，風速愈強，則颱風的內力也愈大。

1. 偏心

若颱風內部結構不是軸對稱，即某一側之風速較另一側為大，即呈偏心結構(如圖6)。

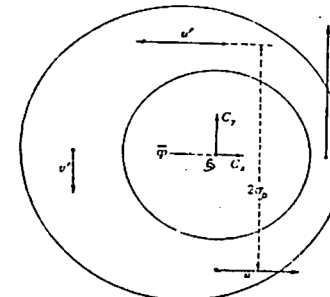


圖 6 . 颱風的偏心

若梯度風方程

$$\left(\frac{v^2}{R} + fv = - \frac{1}{\rho} \frac{\partial p}{\partial n} \right)$$

並設兩等壓線之間不同等截面的流量相等，則由偏心作用所導致颱風移速與風速分布之關係式為：

$$C_x = \frac{1}{2} (u - u' - 4 \Omega R \sigma \cos \theta) \quad (28)$$

$$C_y = \frac{1}{2} (v - v') \quad (29)$$

其中 C_x 為颱風東西向的移速(向東為正)， C_y 為颱風南北向的移速(向北為正)，而 u 、 v 為颱風內風速的正值分量(即西風及南風)， u' 、 v' 為颱風內風速的負值分量(即東風及北風)。

$$\sigma_p = \frac{r' - r}{2} \quad \text{為颱風暴風範圍的平均半徑}$$

(以弧度表示)， R 為地球半徑， Ω 為地球自轉角速度。

當颱風緯度(σ)及暴風半徑(δ_p)已知，則(28)式之 $4\Omega R \delta_p^2 \cos \sigma = \text{const} = K$

$\sigma_p \backslash \sigma$	1	5	10	20
90	0	0	0	0
70	0.2	2.5	9.9	78
50	0.4	9.1	36.6	146
30	0.5	12.3	49.4	198
10	0.6	23.6	55.6	-

(28)(29)式表示：當颱風東北象限之風速最大，則颱風將往西北方移動；若颱風西北象限之風速最大，則颱風將往西南方移動；若颱風西南象限之風速最大，則颱風往東南方移動；若颱風東南象限之風速最大，則颱風往東北方移動，亦即颱風之運動是受到最大風速之導引，此與觀測結果相當一致(Nomoto, 1976)。至於颱風偏心之物理機制及對路徑之影響，則可以參考以下實例：

7203 騰風(莉泰颱風)於琉球海面打轉之後，於1972年7月26日突然轉向西北(圖7)，此乃因當時位於日本海的副熱帶高壓突然增強，颱風東北方的風速增強到50 漪/時，其他為30-40漪/時，顯示偏心是位於颱風的東北象限，即 $v > v'$ ， $u > u'$ ，由(28)(29)式知 $C_y > 0$ ， $C_x < 0$ ，所以莉泰颱風往西北方向移動。

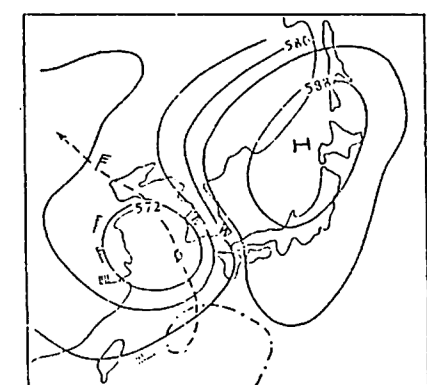


圖 7 . 颱風偏心之實例(1972年7月26日 0000Z 500MB 莉泰颱風)

2. 蛇形(擺動)

在均勻或穩定的氣流場中(如兩高壓之間的鞍形場內)，由於氣壓梯度力(∇P)為0，即 $G=0$ 表示無外力之導引作用。此時，颱風如已發展成熟，因徑向速度($v_r=0$)，於是颱風的運動主要為切線分速，(即 $v_\theta=r\omega$)， r 為距中心之距離， ω 為颱風旋轉的平均角速度)，由(26)(27)式，得颱風的內力， $I_x=0$ ， $I_y=C$ ，表示颱風有向北的內力。此時，颱風的運動方程

$$\left. \begin{aligned} \frac{du}{dt} - fC_x &= -\frac{1}{\rho} \frac{\partial p}{\partial x} + I_x = 0 \\ \frac{dv}{dt} + fC_y &= -\frac{1}{\rho} \frac{\partial p}{\partial y} + I_y = 0 \end{aligned} \right\}$$

(30)

可表示成二次的線性微分方程式

$$\left. \begin{aligned} \frac{d^2x_0}{dt^2} - f \frac{dy_0}{dt} &= 0 \\ \frac{d^2y_0}{dt^2} + f \frac{dx_0}{dt} &= 0 \end{aligned} \right\}$$

(32)

設 f 不變，初始條件 $t=0$ ，即 $x_0=y_0=0$, $u_0=v_0=0$ ，則(32)(33)之解為

$$x_0 = \frac{c}{f} \left(t - \frac{1}{f} \sin ft \right)$$

$$y_0 = \frac{c}{f^2} (1 - \cos ft)$$

此為擺線方程，表示發展成熟的颱風，在氣壓場分布均勻的地區容易出現擺動的運動，即為蛇形路徑。

1974年9月的范迪颱風(圖8)及1982年8月導致五股及林口嚴重水災的西仕颱風(圖9)即為蛇形運動的實例。

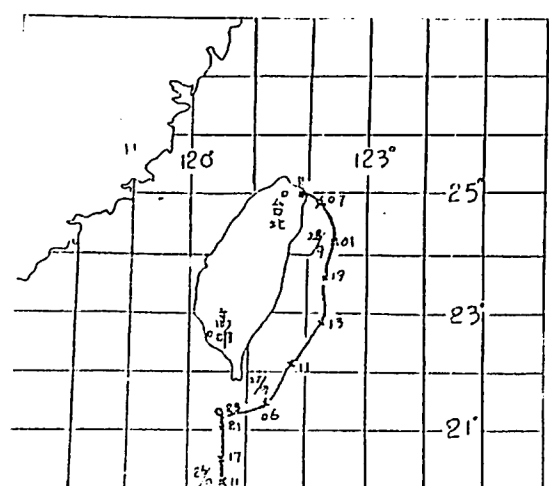


圖9. 蛇形路徑

(四) 涡旋內部動量變化產生的內力

$$N = \int_{\tau} \rho \left(\frac{du'}{dt} i + \frac{dv'}{dt} j \right) d\tau$$

此作用力比較複雜，不易確定，一般均不計算和討論。

四、結語

由上述之討論得知，影響颱風移動的主要作用力有二：

第一是地球轉動所產生的內力：當颱風內部的氣流場為對稱時，由於受到氣旋式環流(切向)和輻合運

圖8. 雷達所測得范迪颱風路徑圖(圖示，26日 11Z- 27日 06Z：高雄雷達站所測，27日 11Z- 28日 10Z：花蓮雷達站所測，28日 11Z：石垣島雷達站所測。)

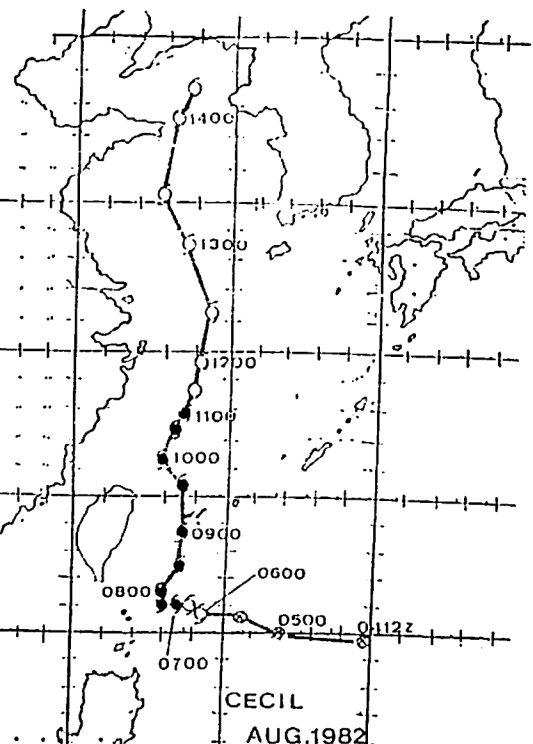
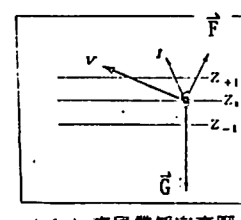


圖8. 雷達所測得范迪颱風路徑圖

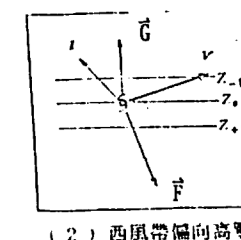
動(徑向)之作用，終使颱風往北偏西移動。若颱風內部的氣流場為不對稱時，即偏心，則將使颱風往最大風速之去向移動。

第二是氣壓梯度力所導致的外力：颱風在綜觀尺度環境場中，受外力之導引，而沿環境場的地轉風方向移動。

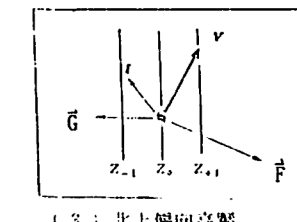
一般而言，颱風的內力較小，變化亦不大，於一～二天內可當作穩定而少變；但周圍的環境場就相當的複雜且多變。事實上，颱風之運動，乃是內力和外力綜合作用，亦即內力(I)、氣壓梯度力(G)和科氏力(F)三力達平衡之結果，可用圖10作說明。



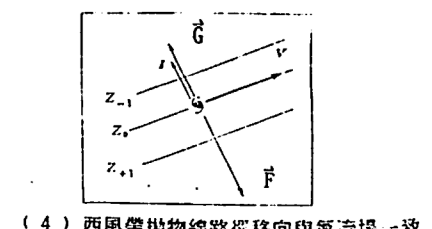
(1) 東風帶偏向高壓



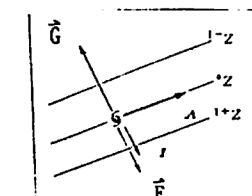
(2) 西風帶偏向高壓



(3) 北上偏向高壓



(4) 西風帶拋物線路徑移向與氣流場一致



(5) 東風帶拋物線路徑移向與氣流場一致

圖10. 騰風的移向與基本氣流之關係

(1). 當颱風位於東風帶的環境場中，氣壓梯度力(G)指向南，內力(I)指向西北，為達到三力平衡，則科氏力(F)指向東北。由於 F 應在颱風移動方向的右側，並與移速(v)垂直，故颱風應向西偏北方向移動，即偏向駛流場之右側(高壓區)。

(2). 當颱風轉向進入西風帶後，將偏向駛流場之左側(低壓區)。

(3). 若颱風在南北向環境氣流場內向北移動，將偏向高壓一側(當颱風移入台灣北部海面、東海、黃海並向北移動時，大部分均右偏轉向，少部分則西折並登陸大陸)。

(4). 氣壓梯度力(G)與內力(I)同一方向(指向西北)，當科氏力(F)與(G 及 I)平衡時，颱風的移動方向與氣流一致，偏差最小。

(5). 氣壓梯度力(G)與內力(I)方向相反，(即 G 指向南)，颱風將沿駛流場，以倒拋物線移動，偏差也最小。

若駛流場相同，亦即氣壓梯度力相等時，則颱風於(2)、(3)、(4)情況中之移速將大於(1)、(5)之情形(因(2)、(3)、(4)之科氏力較大)。

因此在探討颱風的運動時，必須考慮周圍的大

氣環流和天氣系統對其之影響，此有待作進一步之探討。

參考文獻

- Abe, S., 1987 : The looping motion and the asymmetry of tropical Cyclone, J. Meteor. Soc. Japan, 65, 2, 247-258.
- Brand, S., C.A.Buenafe and H.D.Hamilton, 1981 : Comparison of tropical Cyclone motion and environmental steering, Mon. Wea. Rev., 109, 908-909.
- Chan, J.C.L., 1982 : On the physical processes responsible for tropical cyclone motion. Atmos. Sci. Paper No. 358, Colorado State University, Ft. Co. 80523 20099.
- Chan, J.C.L. and W.M.Gray, 1982 : Tropical cyclone movement and surrounding flow relationships, Mon. Wea. Rev., 110, 1354-1384.
- Chan, J.C.L. 1985 : Identification of the steering flow for tropical cyclone motion from objectively analyzed wind field, Mon. Wea. Rev., 113, 106-116.
- Chan, J.C.L. and R.T.Williams, 1987 : Analytical and numerical studies of the beta effect in tropical cyclone motion. Part I, Zero mean flow. J. Atmos. Sci., 44, 1257-1264.
- Demaria, M., 1985 : Tropical cyclone motion in a nondivergent barotropic model. Mon. Wea. Rev., 113, 1199-1210.
- Elsberry, R.L., 1986 : Lectures in tropical cyclones analysis and tropical cyclone motion, NWP short course 1986-1.
- Elsberry, R.L., 1989 : Lectures in typhoon motion studies, NWP short course 1989-4.

- George, J.E. and W.M. Gray, 1976 : Tropical cyclone motion and surrounding parameter relationships, J. Appl. Meteor., 15, 1252-1264.
- Holland, G.J. 1983 : Tropical cyclone motion : Environmental interaction plus a beta effect, J. Atmos. Sci., 40, 328-342
- Holland, G.J., 1984 : Tropical cyclone motion : A comparison of theory and observation, J. Atmos. Sci., 41, 68-75.
- Nomoto, S.K., 1974 : Forecasting manual for Typhoon, J.M.A., 1974.
- Neuman, C.J. and J.M. Pelissier, 1981 : Models for the prediction of tropical cyclone motion over the North Atlantic : An operation evaluation, Mon. Wea. Rev., 109, 522-538.
- Sadler, J.C. 1976 : Tropical cyclone initiation by the tropical upper tropospheric trough, Mon. Wea. Rev., 104, 1266-1278.
- Sadler, J.C. 1978 : Mid-season typhoon development and intensity changes and the tropical upper tropospheric trough, Mon. Wea. Rev., 106, 1137-1152.

天氣轉陰時海水為什麼會冒泡、變髒？

海水中本來就含有一些氣體，在天氣好的時候，氣壓較高，這些氣體能溶解在水中，不會冒泡。一旦氣溫降低，天氣轉陰雨，水中容納不了較多的氣體，就形成氣泡浮到水面上來。另外，淺海的海底，常沉積有魚蝦等腐敗物，當氣泡浮到水面上時，也就把海底的髒穢和腥臭帶到水面上來了。如果遠處出現了暴風雨，那麼由暴風雨引起的湧浪會波及淺海，使海水產生垂直運動或潮流發生急劇轉變，這時海水冒泡、變髒、發臭和泛腥的現象就更加明顯了。

摘自“氣象常識”